

## kd-Trees

Verallgemeinerung von QuadTrees,

bzw. Verallgemeinerung von binären Suchbäumen  
auf  $k$  Dimensionen.

(Letzteres war der Name von Friedman, Bentley & Finkel  
1977; das "k" im Namen war ursprünglich für die  
Dim. gedacht, also 2-d-Trees; 3-d-Trees, etc.; inzwischen  
aber einfach nur kd-tree, oder k-d-tree (ältere Schreibw.)

Konstruktions-Alg.:

$$\text{Sag.: } P = \{p^1, \dots, p^n\} \subseteq \mathbb{R}^d$$

wähle Splitachse  $i$  (d.h.,  $i$ -te Koord.)

bestimme Median  $m_i$  von  $\{p_i^1, \dots, p_i^n\}$

hilde Teilmengen

$$P^- := \{p \in P \mid p_i \leq m_i\}$$

$$P^+ := \{p \in P \mid p_i > m_i\}$$

Rekursion mit  $P^-$ ,  $P^+$

Knoten  $\rightsquigarrow$  speichert

- Kinder zu  $P^-$  und  $P^+$
- Median  $m$  und Splitachse  $i$
- evtl. Blatt ( $P$ )

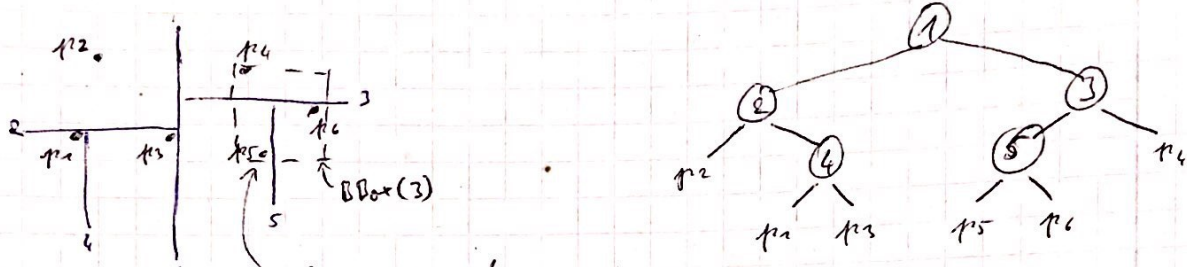
Abbruch der Rekursion bei  $|P| = 1$

Terminologie:

- $i$  heißt auch "Discriminator" (insbes. bei Datenbanken)
- $m$  und  $i$  definieren eine "Splitting-Ebene"

Genauso kann man kd-Trees über Objen aufbauen, z.B. records aus Datenbank die nicht unmittelbar Elte im Raum sind; man benötigt nur auf jeder Komponente eine totale Ordnung.

Beispiel:



wenn man den Median nimmt, dann liegt natürlich der Median immer genau auf der Split-Ebene

Tiefe:  $O(\log n)$

Bemerkung:

Ein kd-Tree induziert eine Partitionierung des Raumes.

Bezeichne mit  $R(v) \subseteq \mathbb{R}^d$  die Teilregion des Raums  $v$ .

$$R(\text{root}) = [-\infty, +\infty]^d$$

(nicht verwechseln mit  $\text{BBot}(P(v))$ !)

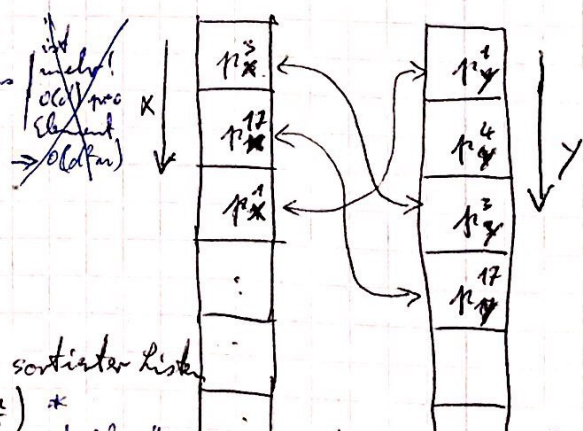
(In der Praxis startet man mit der  $\text{BBot}(P)$  am oberen Wurzel und aktualisiert  $R(v)$  bei der Traversierung.)

Implementierung (in 2D, for sake of simplicity):

sortiere  $P$  1x entlang  $x$  und 1x entlang  $y \rightarrow "Y\text{-Liste}$

verzeigere die Listen

Median finden ist jetzt  $O(1)$   
Speicheranfang  $O(d \cdot n)$ , während des Aufbaus  
Listen aufteilen ist  $O(d \cdot n)$   
(aufteilen braucht man doch  
gar nicht mehr!)



Laufzeit für Aufbau:

Preprocessing  $\rightarrow O(d \cdot n \log n)$  spalten aller-sortierte Listen

Rekursion:  $T(n) = O(d \cdot n) + 2 T\left(\frac{n}{2}\right) *$   
\* ist für bunte reihen und Schnittmenge der Intervalle zu prüfen  
 $\Rightarrow$  Gesamtlaufzeit  $O(d \cdot n \log n)$

Platz:  $O(n)$

(\* Der Term  $O(n)$  kommt von der Mediansuche: beim ersten Mal findet man den Median, z.B. in der X-Liste, in  $O(1)$ ; dann teilt man die Liste in 2 Hälften und macht die Rekurrenz; jetzt wird z.B. entlang  $y$  aufgeteilt: man muss die ganze Y-Liste neuordnen, um Rekurrenz zu haben, wieviel nach dabei sind; je reicht man bei jeder Rekurrenz einen List von d Intervallintervallen nach unten.

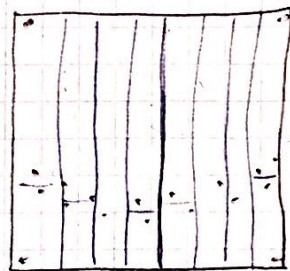
### Variationen:

1. Speichere den Median-Pkt in Knoten ( $P = P^- \cup P^+ \cup \{ \bar{P} \}$ )
2. Split-Ebene:

a) "largest spread kd tree": wähle diejenige Ebne  $i$ , entlang der die Elte die breiteste Verteilung haben, wo also  $\text{BBot}(P(v))$  größte Ausdehnung hat.

Problem: falls Elte auf einer Mannigfaltigkeit (ungefähr) liegen, deren Dim.  $< d$  ist, führt diese Heuristik oft zu langen, schmalen Zellen.

Beispiel:



b) "longest side kd tree":

splitte entlang der Koord., wo  $R(v)$  am längsten ist.

(Ist also <sup>(fast)</sup> völlig unabhängig von  $P$ )

c) Zyklisch: erst  $x$ , dann  $y$ , dann  $z$ , wieder  $x$ , etc. -

2. "Binning" ("bucketing") :

Abruch bei  $|P| \leq b$ .

(Asymptotische Laufzeiten bleiben gleich.)

$$b \approx 20 \dots 30$$

Dickson, Duncan, Goodrich: Kd-trees are better when cut on the longest side; ESA 2000

Greenspan, Zehn, Talbot: Acceleration of Binning Nearest Neighbor Methods

Bemerkung:

Bei kd-Trees fällt die Anzahl Elte assoziiert mit  $R(v)$  auf dem Weg nach unten exponentiell; bei Quadtrees fällt die Größe der Knoten exponentiell (größe = Seitenlänge).

Hier passst "Stackless kd-Tree Traversal" (wrapped kd-trees)

Das Nearest-Neighbor - Problem ("closest point problem"):

Input

Gegeben Punktmenge  $P \subseteq \mathbb{R}^d$  und  $q \in \mathbb{R}^d$ .

Output

Gesucht  $p^* \in P$ , so dass  $\forall p \in P: \|p^* - q\| \leq \|p - q\|$ .  
 $p^*$  heißt "NN".

Idee: bestimme das Blatt  $v$  im kd-tree mit  $q \in R(v)$ ;

dies liefert einen Kandidaten  $p'$ ;

nun muss man nur noch Blätter besuchen,

die die Kugel  $K(q, r)$  um  $q$  mit Radius  $\|q - p'\|$  schneiden.

Algorithmus:

$mm(v, p, r)$ :

input:  $p$  = aktueller Kandidat als NN

$$r = \|p - q\|$$

output: new candidate  $p_{nr}$  // possibly same as  $p$ .

precond:  $K(q, r)$  überlappt  $R(v)$  //  $K$  = Kugel mit Radius  $r$  um  $q$  liegt in  $R(v)$

if  $v$  ist Blatt:

$p' :=$  nearest neighbor aus  $P(v)$  zu  $q$

$$r' := \|q - p'\|$$

if  $r' < r$  then:  $(p, r) := (p', r')$

else:

// Rekursion in das nähere Kind

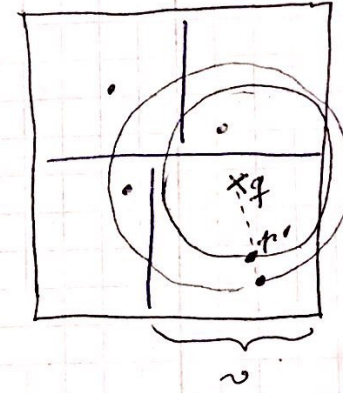
if  $q_i \leq m$ :

$$p, r := mm(v_l, p, r)$$

else:

$$p, r := mm(v_r, p, r)$$

// hier kann  $K(q, r)$  schon kleiner geworden sein



[Friedman, Bentley,  
Finkelman: An algo for  
finding best matches; '77]

// sei  $m, i$  die Split-Ebene

// seien  $v_l, v_r =$  linkes /  
rechtes Kind von  $v$

// hier kommt man  
keinen bounds overlap test! (?)

// Rekursion in das entferntere Kind

if  $q_i \leq m$ :

if  $K(q, r)$  überlappt  $R(v_r)$ :

$$p, r := \text{nn}(v_r, p, r)$$

else:

if  $K(q, r)$  überlappt  $R(v_e)$ :

$$p, r := \text{nn}(v_e, p, r)$$

end if

if  $K(q, r) \subseteq R(v)$ :

$p^* := p$  ist die Lsg.; Rekursion abbrechen

return  $p, r$

(\*\*)

Diese Teile könnte man doch sicher schon in die sonstigen if-Zweige einblenden

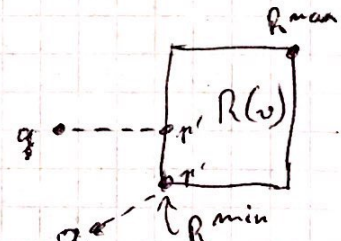
\*) heißt bei Friedman et al. "ball within bounds test"; könnte man auch weglassen, der algo geht dann halt weiter hoch, aber nie wieder runter in einen anderen bst.

(\*\*) "bounds overlap ball test":

$K(q, r)$   
 $R$  überlappt  $R \Leftrightarrow d(q, R) < r \Leftrightarrow$

$\|q - p'\| < r$ , wobei  $p' \in R$  der nähste Pkt zu  $q$  ist ( $q = (q_1, \dots, q_d)$ )

$$p' = \begin{cases} R_j^{\min}, & q_j < R_j^{\min} \\ R_j^{\max}, & R_j^{\max} \leq q_j \leq R_j^{\max} \\ R_j^{\max}, & R_j^{\max} < q_j \end{cases}$$



Aufruf:  $\text{nn}(\text{root}, \text{Null}, \infty)$

Analog macht man k-NN-Suche.

Und analog geht "furthest neighbor"-Suche.

Mit kd-Trees kann man sehr einfach auch sog.  
"orthogonal range queries" machen, also alle Blätter  
liefern, die in einer achsen-parallel Box liegen  $\rightarrow$  Üb. aufgabe  
Ray-Tracing mit kd-Trees : siehe CG 2!

Laufzeit:

Klar ist  $T(n) \in \Omega(\log n)$  und  $T(n) \in O(n)$ ;  
bessere Schranken für worst-case gibt's nicht (bis jetzt = 2000)  
(Erichman et al. zeigen in ihrem Paper  
eine expected Laufzeit von  $O(\log n)$ , aber nur für best Annahmen  
über die Verteilung der Blätter, und für "widest spread" kd-Trees;  
und konsidernweise kommt kein d in der Laufzeit vor.)

[Dobson, Duncan  
Gardner]

# Exkurs: The Curse of Dimensionality ( Eine Erzählung ... )

Vorab die  
4D - Videos!

Satz (o. Bew.):

1. Ein 4d-Damm über einer Menge von  $n$  Pkt in  $\mathbb{R}^d$  erlaubt eine orthogonale Bereichsanfrage in Zeit  $O(n^{1-\frac{1}{d}} + k)$  und Platz  $O(n)$ .  
# output
2. Jeder algo zur orthog. Range Query über irgend einer Datenstruktur, die nur  $O(n)$  viel Platz benötigt, hat mindestens Laufzeit  $\Omega(n^{1-\frac{1}{d}} + k)$ .  
[Rolf Klein's Buch, S.134]

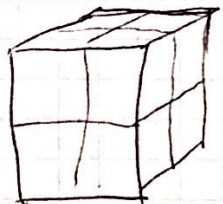
( Wenn man also nur  $O(n)$  viel Platz spendiert, dann sind 4d-Trees die opt. Datenstruktur für orthog. Range Queries.)

Ein einfaches Rechenbeispiel:

Gez.  $N = 10^7$  uniform verteilte Pkt in einem Würfel in  $\mathbb{R}^d$ .

Unteile den Würfel in  $c = 2^d$  Zellen (wie bei Octree)

Anzahl Zellen  $c = 2^d$



erwartete Anzahl Pkt pro Zelle  $p = \frac{N}{c}$

Mindest-Anteil leere Zellen  $e = \frac{c-N}{c}$  (konervative Annahme:  
ein Pkt pro Zelle)

$$\begin{array}{ccc} d & p & e \end{array}$$

$$10 \quad 9.8 \cdot 10^3 \quad 0\%$$

$$30 \quad 0,009 \quad 99,1\%$$

$$100 \quad 8 \cdot 10^{-24} \quad \approx 100\%$$

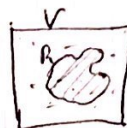
M.a.W.: je höher die Dimension, desto mehr Punkte kann man in dem Würfel mit fester Seitenlänge packen, ohne dass die Dichte steigt!

Zur Erinnerung:

Sei Volumen  $V \subseteq \mathbb{R}^d$  und Gebiet  $R \subseteq V$  gegeben.

Sei  $P \subseteq \mathbb{R}^d$  eine uniform in  $V$  verteilt <sup>zufällig</sup> Punktmenge.

Dann ist die erwartete Anzahl Pkt in  $R = \frac{\text{Vol}(R)}{\text{Vol}(V)} \cdot |P|$ .



Betrachte die Hyperkugel  $K_d \subseteq \mathbb{R}^d$ :

$$\text{Vol}(K_d) = \pi^d \cdot \frac{\pi^{d/2}}{(d/2)!}, \text{ falls } d \text{ gerade}$$

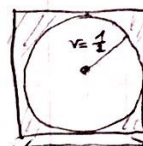
Ist einheitskugel in Einheitswinkel

$$\frac{\text{Vol}(K_d)}{\pi^d} = \frac{(r^2\pi)^{d/2}}{(d/2)!} = \frac{0,78^{d/2}}{(d/2)!} \rightarrow 0 \quad \text{für } d \rightarrow \infty$$

(gilt auch für beliebig r!)

(und das sogar sehr schnell, obwohl K alle Hypersäiten berührt!)

[Mario Körppen: The curse of dimensionality; 2012/13]



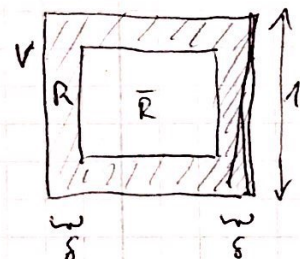
D.h., das meiste Volumen befindet sich in den Ecken!

Und die erwartete Anzahl Pkt in der Kugel  $\rightarrow 0$ !

(Volumen, das sich auf einer Hypersäite konzentriert, ist mit d gleich)

Betrachte den <sup>dicken</sup> Rand des Hyperwürfels (hypervolumene shell)

$$\text{Vol}(R) = 1 - \underbrace{(1-2s)^d}_{\text{Vol}(\bar{R})}$$



Wahrscheinlichkeit, daß ein Pkt  $p \in P$

den Abstand  $\leq 0,1$  von der Oberfläche

des Würfels hat (also in  $R$  liegt):

$$\underline{d} \quad \Pr (= \text{Vol}(R) \cdot 100\%)$$

$$3 \quad 49\%$$

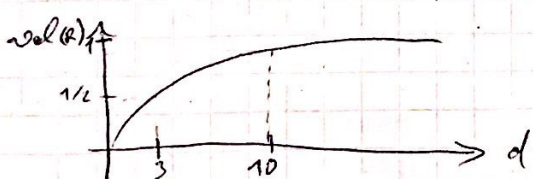
$\rightarrow$  je höher die Dimension, desto

$$10 \quad 89\%$$

mehr Punkte liegen an der Oberfläche; m.a. W.

$$30 \quad 99,8\%$$

$\rightarrow$  Darin ein hoch-dimensionalen Raum ist noch viel schwieriger: ;)



Übungsaufgabe: wie weicht die Anzahl der "approximate NNs" mit d?

$$\text{Lsg.: } V_\varepsilon \sim (1+\varepsilon)^d - 1$$



Kombinatorische Zahlen für einen Hyperwürfel:

$$\# \text{ Ecken} = 2^d, \quad \# \text{ Kanten} = d \cdot 2^{d-1}$$

$$\# \text{ Quadrate} = \frac{d(d-1)}{2} 2^{d-2} \quad (\# k\text{-dim Facetten} = \binom{d}{k} 2^{d-k})$$

$$\# \text{ Hyposeiten} = 2d \quad \leftarrow \text{Hyperwürfel der Dim } d-1$$

$$\text{Länge der Diagonale} = \sqrt{d}$$

(Man kann sich also einen Hyperwürfel ein wenig so vorstellen wie ein Gebilde mit einem kugelförmigen "Kern", dessen Volumen verschwindend klein ist/wird, und exponentiell vielen "Zacken" (wie am Tiegel), in denen fast das gesamte Volumen enthalten ist.) [Körpern S.5]

← { Never compare  $\text{Vol}(K_d)$  with  $\text{Vol}(K_{d+1})$  !!  
(think "cm" versus "cm<sup>2</sup>") }

Zum Volumen der Hyperkugel: man sieht da manchmal ein Kreis

der Art  $\overset{\text{Vol}}{\curvearrowright}$   $\text{dim}$

Das ist aber Quatsch, denn es ist völlig sinnlos,  
der Inhalt in versch. Dimensionen zu vergleichen

Message:  
man darf nur  $\text{Vol}(K_d)$  über  
 $\text{Vol}(Würfel)$  vergleichen, z.B. Fläche in 2D mit Vol in 3D! → Wikipedia-Artikel "Hypersphäre"

Remember the Closest Pairs algorithm:

Phase 3 involved a "sparsity" argument.

Consider pts  $P \subseteq \mathbb{R}^d$  with min. dist.  $\delta$ .

Take any  $p \in P$ , place cube  $C$  centered at  $p$  with "radius"  $\delta/2$ .

Consider  $L \subseteq P$  inside  $C$ .

Question:  $|L| = ?$

Consider balls  $K_d$  around each  $g \in L$  with radius  $\frac{\delta}{2}$ .

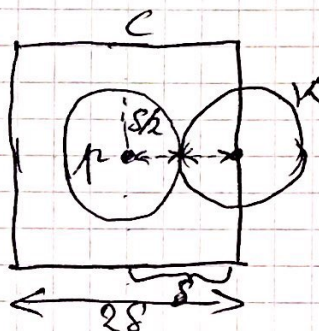
No two balls can intersect!

Upper bound:

$$\begin{aligned}|L| &\leq \max \# \text{balls in } G \\ &\approx \frac{\text{Vol}(C)}{\text{Vol}(K)} = \frac{(2\delta)^d}{\pi^{d/2} \cdot \left(\frac{\delta}{2}\right)^d} \\ &= 4^d \cdot \frac{(d/2)!}{\pi^{d/2}}\end{aligned}$$

$$\approx 4^d \frac{(d/2)^{d/2}}{\pi^{d/2}} = 16^{d/2} \cdot \frac{(d/2)^{d/2}}{\pi^{d/2}} \approx (2.54d)^{d/2}$$

Stirling's approx.



Good news: in case  $d$  is fixed  $\rightarrow |L| \in O(1)$

Bad news:  $|L| \rightarrow \infty$  as  $d \rightarrow \infty$

## Approximate Nearest Neighbors

Wegen der curse of Dimensionality und der unteren Schranke von  $\Omega(n^{1-\frac{1}{d}})$  für orthog. Range Queries gäbe viele, die es keine Sinn macht, also für NN in hohen Dimen zu suchen, die <sup>signifikant</sup> <sup>lesser</sup> als  $O(n)$  sind (und nur Platz  $O(n)$  brauchen).

Was kann man tun? Mehr Platz spezialisieren: etwas machen.  
Nicht exakt NN suchen (reicht für die allermeisten Appl.)

Dickerson, Duncan, Gavrilov: lot-trees  
are better when cut on the longest side, ESA 2000.

Duncan, Gavrilov, Kobourov: Balanced aspect ratio trees ...  
Arya, Mount, Netanyahu, Silverman, Wu:  
An optimal algo for approx nearest neighbor searching -; 1998, S. 18+19

Def.:

Sei  $S \subseteq \mathbb{R}^d$  eine Menge von Pkt.,  $q \in \mathbb{R}^d$  ein Query-Pkt.,  $p^* \in S$  der NN, und  $\varepsilon \geq 0$ .

Dann heißt ein  $p^* \in S$  "(1+ $\varepsilon$ ) $\leftarrow$  approximate nearest neighbor"  $\Leftrightarrow$   
 $d(p^*, q) \leq (1+\varepsilon) \cdot d(p^*, q)$ .

Bezeichnungen:

Es gelte:  $v$  und  $R(v)$  bzw "Knoten" und "Region des Knoten"  
sind synonyme.

Annahme: metric space, d.h.  $d()$  ist Metrik z.B.  $d(p, q) := \|p - q\|$ ,  $d(v, q) := d(R(v), q)$

$P_v$ := obr in  $v$  liegende Blt., falls  $v$  Blatt ist  
(sonst liefern wir ja  $R(v)$ =Menge obr in  $v$  liegender Blt.)

Also:

$Q =$  Priority - Queue mit Beleg auf Knoten im k-d-tree  
sortiert nach  $d(v, q) =$  Abstand zw.  $q$  und  $v$ ; (hier am Anfang)  
kleinstes Element von  $Q$

$p^* :=$  Blatt innerst. weit weg (= aktueller Kandidat des  $d(v, q)$ )

$v :=$  Root des k-d-trees (Hilfestellung: es ist sehr wichtig, dass man hier mit einem "normalen" Blatt startet! sonst könnte es passieren, dass die while-Schleife nie gar nicht startet!)

while  $d(v, q) < \frac{1}{1+\varepsilon} d(p^*, q)$ :

while  $v$  is inner node :

seien  $v_1, v_2$  die Kinder von  $v$ , und  $d(v_i, q)$

füge  $v_2$  in  $Q$  ein

$\leq d(v_2, q)$

and then  $v := v_1$

if  $d(p^*_v, q) < d(p^*, q)$ :

{  $v$  ist jetzt Blatt }

then

$p^* := p^*_v$

$v \leftarrow \text{extractMin}(Q)$

$v :=$  minimales Element aus  $Q$ , lösche dieses aus  $Q$ ;

end while

return  $p^*$

(Das entstandene ist, das für  $\varepsilon=0$  genau so ist, aber nicht korrekt auf! (ausser, dass nur eben in iterative Form)

Zeit:  $O(l \cdot \log n)$ ,  $l = \#$  besuchter Blätter

Bew.:

1. Korrektheit: Sei  $v^*$  Blatt aus k-d-tree, das  $p^*$  enthält

a)  $v^*$  wurde besucht  $\Rightarrow$  also liefert  $p^* = p^*$

b)  $v^*$  wurde nicht besucht  $\Rightarrow p^* \neq p^* \Rightarrow$

$d(p^*, q) \geq d(v^*, q) \geq d(\bar{v}, q) \geq \frac{1}{1+\varepsilon} d(p^*, q)$

wobei  $d()$  Matrik nähere Knoten werden zuerst besucht.

wobei  $\bar{v}$  der zuletzt besuchte Knoten sei. (Blatt oder innerer Knoten)

2. Zeit:

inner loop

pro Schleiferadurchlauf: 1x Knoten extrahieren,  $O(\log n)$  Knoten einfügen;

Fibonacci - Heap verwenden  $\Rightarrow O(\log n)$  für Extrakt.,  $O(1)$  amortisierte Kosten für einfügen;  $d(v, q)$  braucht  $O(1) \Rightarrow$  Sch.

Bem.:

1. In der Praxis bleibt Heap relativ klein  $\rightarrow$  verwende normalen Heap.
2.  $d(v, q)$  braucht nur  $O(1)$ , weil man Distanz inkrementell aus Dist. zum Vater berechnen kann.
3. Analog geht "(1- $\epsilon$ )-furthest neighbor".
4. Gibt PD-Software "ANN library", die gilt inszwischen bessere. S. Folien verwendet aber eine wesentlich komplexe Datenstruktur, weil damals noch nicht bekannt war, daß auch die alten "longest-side kd-Trees" diese schöne nearest-case-Laufzeit haben.
5. # besuchter Blätter  $\in O(\log^{d-1} n)$  [ESA 2000]; zeigt man, indem man Schranke für Anzahl der Knoten des kd-tree findet, die einen Knoten "durchstechen". Genauer:  $O\left(\frac{(\log n)^{d-1}}{\epsilon^{d-1}}\right)$  gilt nur für "longest-side" kd-tree!

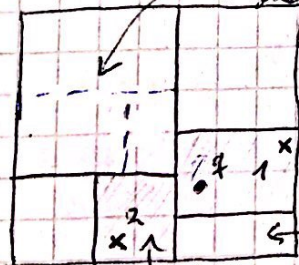


Satz:

Zu einer Menge  $S \subseteq \mathbb{R}^d$ ,  $|S|=n$ , und einem Query-Pkt  $q \in \mathbb{R}^d$  findet man den  $(1+\epsilon)$ -nearest neighbor in Zeit  $O\left(\frac{\log^d n}{\epsilon^{d-1}}\right)$ .

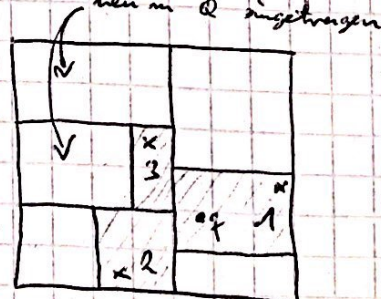
Bsp. zum Hjo:

kd-tree, so weit so in der Queue eingetragen ist/war:



3) wird als nächstes aus Q geholt und berücksichtigt.

... zu Q eingetragen schon besuchtes Blatt, aus Q wieder entfernt.



## Beste ANN-Algos

Achtung: "beste" hängt von vielen Faktoren ab!

- Metrik oder nicht-metrischer Abstand
- Verteilung der Pkte (hohe Korrelation oder uniform)
- Dimension

Folgerung: zwei Algos funktionieren in praxi sehr gut für viele Daten

Alternatives Abbruchkriterium: beschränke max Lmax auf viele Blätter.

Alternatives Güte-Maß des ANN-Algo:

$$\text{precision} = \frac{\# \text{ exakter NN's}}{\# \text{ Queries}}$$

$$\text{error} = 1 - \text{precision} \quad (\text{engl. "error"})$$

Randomized kd-Tree (RKD):

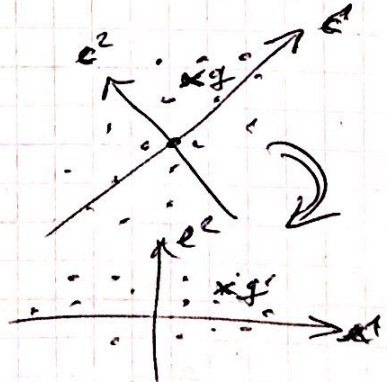
- Bestimme D Achsen (Dimensions) mit höchster Varianz der Pkte
  - Wähle eine davon zufällig
  - Splitte entlang Median dieser Achse
- Experimente zeigen:  $D=5$  reicht

Muja & Lowe: Fast Approximate Nearest Neighbors with Automatic algo configuration; 2009.

Silgei-Aman & Hartley: Optimised KD-trees for fast image descriptor matching; 2008.

PCA-RKD:

- Bestimme Principal Components der Pkte  $P$
- Transformiere Pkte  $\rightarrow P'$
- Baue RKD über  $P'$
- Transformiere Query-Pkt  $q \rightarrow q'$
- Weiter mit bisherigem ANN-Algo



RKD-Forest (auch mit PCA):

Baue mehrere (20-50) RKD-Trees über P (bzw  $P'$ )

ANN-Search mittels RKD-Forest:

Maintain 1 p-queue early (one for all)

(erinnert ein  
wenig an  
Random  
Forests!)

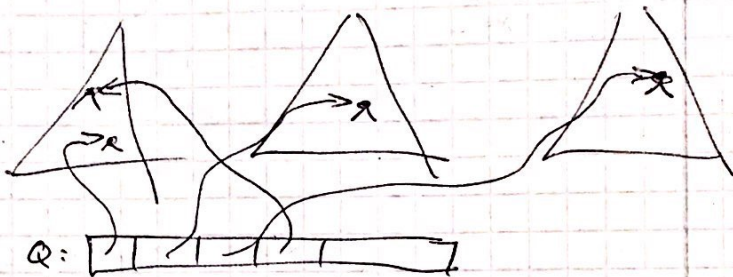
Descend each RKD-tree down to leaf closest to  $g$   
(first iteration of outer while loop of ANN algo)

Choose closest  $p^*$  of all those leaves

put others in p-queue

Proceed with ANN-algo as before

Queue contains pointers to nodes in different trees!



Warum funktioniert das besser?

Beisp.: 1 Mio Plte  $\approx 2^{20} \Rightarrow$  Tiefe der kdt-Trees = 20

Dimension = 100  $\Rightarrow$  ANN schaut 80 Einträge von  $g$  gleichzeitig an!

$\Rightarrow$   $g$  und  $p^*$  in Blatt sind nah beieinander in 20 Dim., aber in den 80 anderen nicht notwendigerweise

Hier hilft die Randomisierung  
andere Betrachtung:

- Beim klassischen ANN-Algo hängen die nacheinander (aus der P-Queue kommenden) besuchten Zellen stark voneinander ab
- Bei diesem Algo liegen die Zellen aus der P-Queue in verschiedenen, randomisierten kdt-Trees  $\Rightarrow$  weniger Abhängigkeit dazwischen!

### $k$ -Means-Tree:

- 1. Partitioniere  $P$  mittels  $k$ -means-Clustering in  $K$  Cluster
- 2. Erzeuge für jeden Cluster einen  $k$ -Means-Tree
- 3. Erzeuge Knoten mit  $K$  Kindern

### ANN-Search mittels $k$ -Means-Tree:

Transversiere Baum bis zum nächsten Blatt  
Schreibe nicht-besuchte Kinder in  $P$ -Dreiecke  
Sortiere  $P$ -Dreiecke bzgl.  $\text{dist}(q, \text{cluster-center})$   
Stoppe nach  $L_{\max}$  besuchten Blättern

### Bem.:

- $k$ -means-Clustering benötigt auch ANN (allerdings immer nur in den  $k$  Mittelpunkten der Cluster)
- Randomisierung und Forest haben <sup>die</sup> niedrigste Fehlerquote (lt. Autoren)
- Aufbau ist rel. teuer  $\Rightarrow$  führt nur wenige Iterationen im  $k$ -means-Clustering durch, nicht bis Konvergenz laufen lassen.  
ANN wird dann beeinträchtigt.